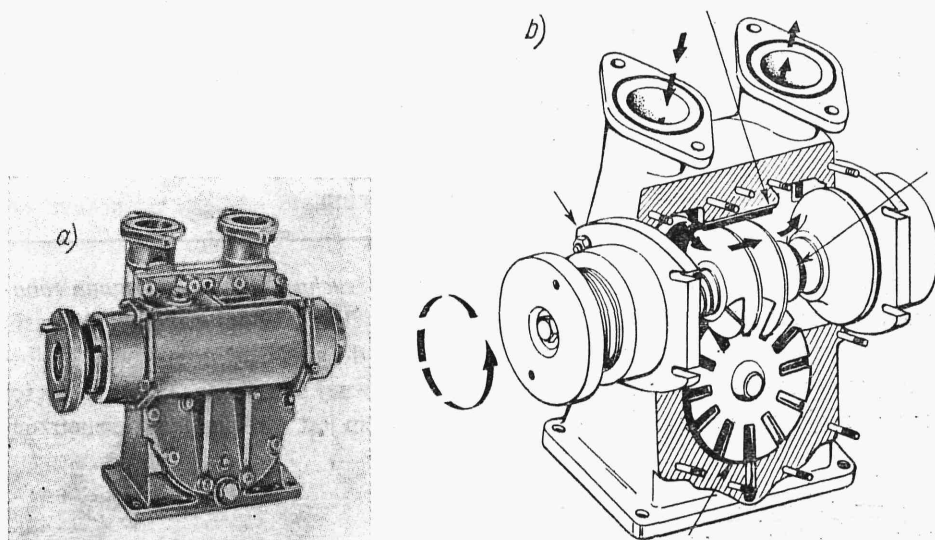


Na rys. 7.41 przedstawiono zależność pomiędzy rzeczywistą prędkością przepływu  $v$  we wrębach śrub, maksymalną wysokością ssania  $H_{s\max}$  i lepkością cieczy  $\nu$ .

Na rys. 7.42÷7.44 podano charakterystyki pomp trzywirnikowych, przy czym ostatnia charakterystyka dotyczy pompy przedstawionej na rys. 7.39.

## 7.5. Pompy wyporowe ślimakowe

Stosunkowo niewielką grupę pomp wyporowych obrotowych stanowią *pompy ślimakowe*. Na rys. 7.45 przedstawiono typową konstrukcję pompy, której działanie opiera się na współpracy koła ślimakowego ze ślimacznicą. Medium pompowane



Rys. 7.45. Pompa ślimakowa firmy Hamworthy: a) widok, b) przekrój

jest przetłaczane we wrębach między zwojami ślimaka. Zazębienie ze ślimacznicą stanowi przegrodę oddzielającą stronę ssawną od tłocznej.

Pompy ślimakowe są stosowane do pompowania cieczy samosmarujących, bez zanieczyszczeń stałych, o zawiesistości do  $10\,000\text{ mm}^2/\text{s}$  (smary płynne i stałe — towoty), wydajność  $Q$  do  $300\text{ m}^3/\text{h}$ , ciśnienia  $p$  do  $20\text{ MPa}$  i sprawności  $\eta$  do  $0,8$ .